



# O możliwości faktoryzacji przekroju czynnego pochodzącego z wybicia dwóch nukleonów

Jakub Żmuda

Instytut Fizyki Teoretycznej

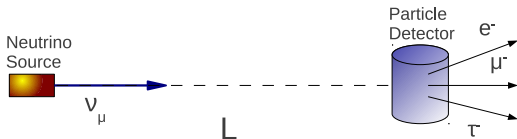
March 23, 2015



# Spis treści

- 1 Motywacja
- 2 CCRV PRC89
  - Układ dwóch ciał i kwantowy oscylator harmoniczny.
  - Rozkład pędów dwóch nukleonów.
  - Faktoryzacja przekroju

# Akceleratorowy eksperyment oscylacyjny



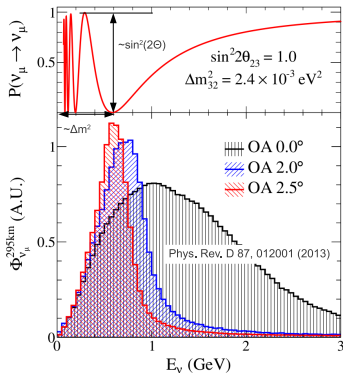
- Szerokie spektrum energii  $\nu_\mu$  (T2K-  $\langle E \rangle \approx 650$  MeV).
- Detektor w odległości  $L$ . Oddziaływanie z jądrem atomowym.
- Eksperyment interferometryczny, przybliżenie dwuzapachowe  $\mu \rightarrow \tau$ :

$$P(\nu_\mu \rightarrow \nu_\mu) \approx 1 - \sin^2(2\Theta_{23}) \sin^2 \left[ 1.267 \frac{\Delta m_{23}^2 L}{E} \frac{\text{GeV}}{\text{eV}^2 \text{ km}} \right]$$

- Ścisła korelacja odległość-energia neutrina. Poszukiwania "nowej fizyki".

# Pomiar parametrów oscylacji

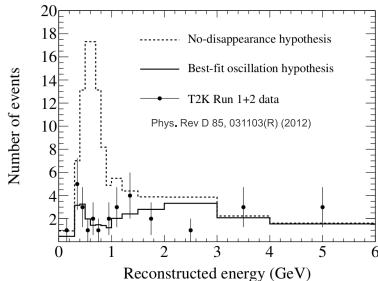
## ● Eksperyment T2K:



- Przykładowa obserwabla: "zrekonstruowana energia" (brak pomiarów bezpośrednich dla energii!):

$$E_{rec} = \frac{E_\mu M - \frac{1}{2} m_\mu^2}{M - E_\mu + p_\mu \cos(\Theta_\mu)}$$

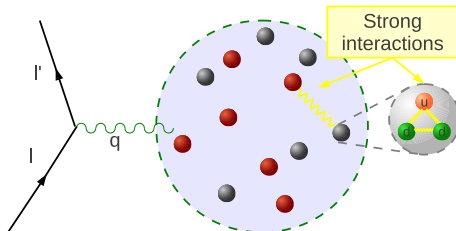
$E_\mu$ -energia mionu,  $\cos(\Theta_\mu)$ -kąt produkcji.



Przewidywanie ilości i typu zdarzeń bez i z oscylacjami -tylko poprzez Monte Carlo.

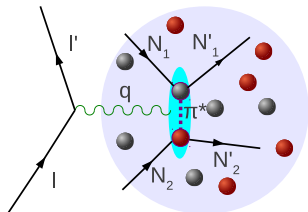
MC- dostajemy to, co włożymy ("GIGO" theorem Garbage In Garbage Out).

# Oddziaływanie z jądrem atomowym



- Czteropęd leptonów  $l, l'$ , przekaz czteropędu  $q \equiv l - l'$ .
- Jądro - stan związany nukleonów, nukelon - stan związany kwarków. Niewyobrazalna ilość możliwych procesów.
- Oddziaływania silne- różne stopnie przybliżeń.

# Prądy wymiany mezonów (2p2h/MEC)



- Ekstremalnie trudny do zmierzenia: progi na pomiar protonu, neutrony jedynie przez reinterakcje (np. emisja  $\gamma$  z jądra)
- Nukleony: silne oddziaływania stanów końcowych (FSI).
- Ale: propozycje pomiarów neutrinowych w T2K, Argoneut etc. !
- Czego mogą szukać doświadczalnicy??

- Oddziaływanie z parą skorelowanych nukleonów (wymiana mezonów).
- Trzeci co do wazności proces dla energii wiązki T2K.

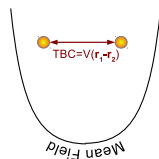
# Prądy wymiany mezonów (2p2h/MEC)

- Modele mikroskopowe:
  - ① "Dokładne" (Monte Carlo funkcji Greena) typu Carlson-Schiavilla-Gandolfi
  - ② Przybliżone modele mikroskopowe oparte na lokalnym gazie Fermiego i efektywnej teorii pola (hadrony+mezony): Donnelly-Amaro, Martini-Martreau, Nieves etc.
- 1: realistyczne jądro, możliwa informacja o korelacjach nukleonowych, złożoność numeryczna (do  $^{12}\text{C}$  góra i dla niskich energii poniżej wzbudzenia  $\Delta$  i produkcji pionów, klastry obliczeniowe Los Alamos).
- 2: szybsze obliczenie, szeroki zakres kinematyk (produkcja pionów, seria rezonansów barionowych w tym samym języku), gaz Fermiego, brak korelacji, zbyt uproszczone?
- Do tej pory jedynie druga grupa w MC → poszukiwania MEC w oddziaływaniu neutrin.
- Prostsze podejście od 1 z informacją o korelacjach?



# Podstawowe informacje

- Publikacja Colle, Cosyn, Ryckebush, Vanhalst Phys. Rev. C 89,024603, 2014.
- Faktoryzacja ekskluzywnego przekroju  $A(e, e', p, N)$ .
- Proporcjonalność przekrojów do warunkowej dystrybucji pędów środka masy pary nukleonów.
- Uproszczony opis w bazie oscylatorowej i "rozwinięciu klastrowym".
- Na początek: dawka uderzeniowa mechaniki kwantowej.





# Oscylator harmoniczny

- Separacja stopni swobody na ruch względny i środka masy w kwantowym oscylatorze harmonicznym I. Talmi, Helv. Phys. Acta 25 (1952) 185, M. Moshinsky, Nucl. Phys. 13 (1959) 104.
- Tutaj: bardziej ogólne rozważania z B. Buck, A. C Merchant, Nucl. Phys. A 600, 387-402, 1992.
- Układ dwóch czastek o masach  $m_1$  i  $m_2$  i częstościach  $\omega_1$  i  $\omega_2$ :

$$\left[ -\frac{\hbar^2 \Delta_1}{2m_1} + \frac{1}{2} m_1 \omega_1^2 \vec{r}_1^2 - \frac{\hbar^2 \Delta_2}{2m_2} + \frac{1}{2} m_2 \omega_2^2 \vec{r}_2^2 \right] \Psi(\vec{r}_1, \vec{r}_2) = (E_1 + E_2) \Psi(\vec{r}_1, \vec{r}_2)$$

- Energie własne  $E_i = \hbar \omega_i (2n_i + l_i + \frac{3}{2})$
- Funkcja falowa: iloczyn dwóch rozwiązań oscylatora harmonicznego:

$$\Psi(\vec{r}_1, \vec{r}_2) = \phi_{n_1 l_1 m_1}(\vec{r}_1) \phi_{n_2 l_2 m_2}(\vec{r}_2)$$

- Na razie brak informacji o względnym momencie pędu pary itp.

# Oscylator harmoniczny

- W bezwymiarowych współrzędnych  $\vec{\rho}_i = \left(\frac{m_i \hbar}{\omega_i}\right)^{\frac{1}{2}} \vec{r}_i$ ,  $E_i = \hbar \omega_i \varepsilon_i$ .

$$\left[ \hbar \omega_1 \left( \frac{1}{2} \Delta_{\rho_1} - \frac{1}{2} \rho_1^2 + \varepsilon_1 \right) + \hbar \omega_2 \left( \frac{1}{2} \Delta_{\rho_2} - \frac{1}{2} \rho_2^2 + \varepsilon_2 \right) \right] \Psi(\vec{\rho}_1, \vec{\rho}_2) = 0$$

- Tutaj analogicznie:

$$\Psi(\vec{\rho}_1, \vec{\rho}_2) = \phi_{n_1 l_1 m_1}(\vec{\rho}_1) \phi_{n_2 l_2 m_2}(\vec{\rho}_2)$$

- Równanie Schrödingera: każdy nawias () zeruje funkcje falową, czyli:

$$\left[ \left( \frac{1}{2} \Delta_{\rho_1} - \frac{1}{2} \rho_1^2 + \varepsilon_1 \right) + \left( \frac{1}{2} \Delta_{\rho_2} - \frac{1}{2} \rho_2^2 + \varepsilon_2 \right) \right] \Psi(\vec{\rho}_1, \vec{\rho}_2) = 0$$

- Po przekształceniach możliwa zmiana zmiennych:

$$\begin{pmatrix} \vec{\rho} \\ \vec{P} \end{pmatrix} = \begin{pmatrix} \cos(\beta) & -\sin(\beta) \\ \sin(\beta) & \cos(\beta) \end{pmatrix} \begin{pmatrix} \vec{\rho}_1 \\ \vec{\rho}_2 \end{pmatrix}$$

# Oscylator harmoniczny

- Działanie na operatory tworzące Hamiltonian:

$$\begin{aligned}\Delta_{\rho_1} &= \cos(\beta)^2 \vec{\nabla}_\rho^2 + 2 \sin(\beta) \cos(\beta) \vec{\nabla}_\rho \vec{\nabla}_P + \sin(\beta)^2 \vec{\nabla}_P^2 \\ \Delta_{\rho_2} &= \sin(\beta)^2 \vec{\nabla}_\rho^2 - 2 \sin(\beta) \cos(\beta) \vec{\nabla}_\rho \vec{\nabla}_P + \cos(\beta)^2 \vec{\nabla}_P^2 \\ \rho_1^2 &= \cos(\beta)^2 \vec{\rho}^2 + 2 \sin(\beta) \cos(\beta) \vec{\rho} \vec{P} + \sin(\beta)^2 \vec{P}^2 \\ \rho_2^2 &= \sin(\beta)^2 \vec{\rho}^2 - 2 \sin(\beta) \cos(\beta) \vec{\rho} \vec{P} + \cos(\beta)^2 \vec{P}^2\end{aligned}$$

- Hamiltonian po transformacji:

$$\left[ \left( \frac{1}{2} \Delta_\rho - \frac{1}{2} \vec{\rho}^2 + \varepsilon \right) + \left( \frac{1}{2} \Delta_P - \frac{1}{2} \vec{P}^2 + E \right) \right] \Psi(\vec{\rho}, \vec{P}) = 0$$

$$\varepsilon = 2n + l + \frac{3}{2}$$

$$E = 2N + L + \frac{3}{2}$$

$$\varepsilon + E = \varepsilon_1 + \varepsilon_2$$

$$\Psi(\vec{\rho}, \vec{P}) = \phi_{nlm}(\vec{\rho}) \phi_{NLM}(\vec{P})$$

- Taka separacja tylko dla oscylatora harmonicznego i cząstek swobodnych (forma potencjału).

# Oscylator harmoniczny

- Najprostszy przykład (Talmi-Moshinsky):  $m_1 = m_2$ ,  $\omega_1 = \omega_2$  i  $\beta = \frac{\pi}{4}$

$$\begin{pmatrix} \vec{q} \\ \vec{P} \end{pmatrix} = \begin{pmatrix} \frac{1}{\sqrt{2}} & -\frac{1}{\sqrt{2}} \\ \frac{1}{\sqrt{2}} & \frac{1}{\sqrt{2}} \end{pmatrix} \begin{pmatrix} \vec{\rho}_1 \\ \vec{\rho}_2 \end{pmatrix} = \left(\frac{\omega}{m\hbar}\right)^{\frac{1}{2}} \begin{pmatrix} \vec{r}_1 - \vec{r}_2 \\ \frac{\vec{r}_1 + \vec{r}_2}{\sqrt{2}} \end{pmatrix}$$

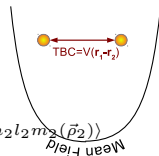
- Klasyczny rozdział ruchu środka masy-ruch względny.
- Różne masy i częstotliwości: ruch względny opisywany przez  $q \Leftrightarrow q \propto \vec{r}_1 - \vec{r}_2$ :

$$\vec{q} = \left(\frac{m_1\omega_1}{\hbar}\right)^{\frac{1}{2}} \vec{r}_1 \cos(\beta) - \left(\frac{m_2\omega_2}{\hbar}\right)^{\frac{1}{2}} \vec{r}_2 \sin(\beta) = \left(\frac{m_1\omega_1 m_2\omega_2}{\hbar(m_1\omega_1 + m_2\omega_2)}\right)^{\frac{1}{2}} (\vec{r}_1 - \vec{r}_2)$$

$$\text{tg}(\beta) = \left(\frac{m_1\omega_1}{m_2\omega_2}\right)^{\frac{1}{2}}$$

# Oscylator harmoniczny

- Zysk: rozdział korelacji dwuciałowej od średniego pola (inny potencjał, np. Woods-Saxon- rozwinięcie w bazie oscylatora harmonicznego).
- Rzut stanu własnego dwóch cząstek o całkowitym momencie pędu ( $\Lambda, \lambda$ ) na funkcje ruchu ś.m. i względnego:



$$\begin{aligned}
 |n_1 l_1 m_1(\vec{\rho}_1), n_2 l_2 m_2(\vec{\rho}_2) : \Lambda \lambda\rangle &= \sum_{m_1 m_2} \langle l_1 m_1, l_2 m_2 | \Lambda \lambda \rangle |n_1 l_1 m_1(\vec{\rho}_1), n_2 l_2 m_2(\vec{\rho}_2)\rangle \\
 &= \sum_{NLnl} \langle NL, nl : \Lambda | n_1 l_1, n_2 l_2 : \Lambda \rangle |NL(\vec{P}), nl(\vec{\varrho}) : \Lambda\rangle
 \end{aligned}$$

- “Nawias Talmiego-Moshinskiego”:

$$\begin{aligned}
 \langle NL, nl : \Lambda | n_1 l_1, n_2 l_2 : \Lambda \rangle &= \sum_{\lambda = const.} \langle NL, nl | \Lambda \lambda \rangle \langle \Lambda \lambda | n_1 l_1, n_2 l_2 \rangle \langle NL, nl | n_1 l_1, n_2 l_2 \rangle \\
 \langle NL, nl | n_1 l_1, n_2 l_2 \rangle &= \int d\vec{\rho}_1 d\vec{\rho}_2 \phi_{NLM}^*(\vec{P}) \phi_{nlm}^*(\vec{\varrho}) \phi_{n_1 l_1 m_1}(\vec{\rho}_1) \phi_{n_2 l_2 m_2}(\vec{\rho}_2)
 \end{aligned}$$

- Cały problem w całce: ciekawa technika funkcjonałów generujących w Buck-Merchant (dla dalszych rozważań nieistotne).

# Oscylator harmoniczny

- Obliczenie korelacji/operatora dwuciałowego (zachowuje moment pędu pary):

$$\begin{aligned}
 & \langle n_3 l_3(\vec{r}_1), n_4 l_4(\vec{r}_2) : \Lambda \lambda | V(\vec{r}_1 - \vec{r}_2) | n_1 l_1(\vec{r}_1), n_2 l_2(\vec{r}_2) : \Lambda \lambda \rangle = \\
 & = \sum_{NLnl} \sum_{\tilde{N}\tilde{L}\tilde{n}\tilde{l}} \langle NL, nl : \Lambda | n_1 l_1, n_2 l_2 : \Lambda \rangle \langle n_1 l_1, n_2 l_2 : \Lambda | \tilde{N}\tilde{L}, \tilde{n}\tilde{l} : \Lambda \rangle \times \\
 & \quad \times \langle \tilde{N}\tilde{L}(\vec{P}), \tilde{n}\tilde{l}(\vec{\varrho}) : \Lambda | V(\vec{r}_1 - \vec{r}_2) | NL(\vec{P}), nl(\vec{\varrho}) : \Lambda \rangle = \\
 & = \sum_{NLnl\tilde{n}\tilde{l}} \langle NL, nl : \Lambda | n_1 l_1, n_2 l_2 : \Lambda \rangle \langle n_1 l_1, n_2 l_2 : \Lambda | NL, \tilde{n}\tilde{l} : \Lambda \rangle \times \\
 & \quad \times \sum_{m\tilde{m}M} \langle lm, LM | \Lambda \lambda \rangle \langle \tilde{l}\tilde{m}, LM | \Lambda \lambda \rangle \left\langle \tilde{n}\tilde{l}\tilde{m}(\vec{\varrho}) \left| V \left( \left( \frac{\hbar(m_1\omega_1 + m_2\omega_2)}{m_1\omega_1 m_2\omega_2} \right)^{\frac{1}{2}} \vec{\varrho} \right) \right| nl m(\vec{\varrho}) \right\rangle
 \end{aligned}$$

- Funkcje "środka masy"  $\vec{P}$ : "wyciąkowane".
- Ograniczenie problemu do działania operatora na współrzędnych względnych i nawiasów Talmiego-Moshinskiego. Sumy skończone ze względu na zasady składania momentów pędu.

# Rozkład pędów dwóch nukleonów.

- Powrót po długiej dygresji. Rozkład pędów par  $pp$  i  $pn$ . Całkowite i względne położenia i pędy (uwaga na normalizację Ryckebusha):

$$\begin{aligned}\vec{r} &= \vec{r}_1 - \vec{r}_2 & \vec{R} &= \frac{\vec{r}_1 + \vec{r}_2}{2} \\ \vec{k} &= \frac{\vec{k}_1 - \vec{k}_2}{2} & \vec{P} &= \vec{k}_1 + \vec{k}_2\end{aligned}$$

- Wprowadzamy rozkład gęstości pędów:

$$\begin{aligned}P_2(\vec{k}, \vec{P}) &= \frac{1}{(2\pi)^6} \int d\vec{r} d\vec{r}' d\vec{R} d\vec{R}' \\ e^{i\vec{k}(\vec{r} - \vec{r}')} e^{i\vec{P}(\vec{R} - \vec{R}')} \rho_2(\vec{r}' \vec{R}'; \vec{r} \vec{R})\end{aligned}$$

- Dwuciałowa gęstość stanów przy zadanym stanie jądra  $\Psi_A$  i całce po wszystkich współrzędnych oprócz  $\vec{r}_1, \vec{r}_2$ :

$$\rho_2(\vec{r}' \vec{R}'; \vec{r} \vec{R}) = \int \{d\vec{r}_{3-A}\} \Psi_A^*(\vec{r}'_1, \vec{r}'_2, \vec{r}'_3, \dots, \vec{r}'_A) \Psi_A(\vec{r}_1, \vec{r}_2, \vec{r}_3, \dots, \vec{r}_A)$$

# Rozkład pędów dwóch nukleonów.

- W sumie 3 zmienne niezależne dla rozkładu  $P_2(\vec{k}, \vec{P})$ :  $|\vec{k}|$ ,  $|\vec{P}|$  i kąt między pędami. Ten ostatni nieistotny dla  $P \lesssim 200\text{MeV}$ .
- Ważne obserwabla:
  - Prawdopodobieństwo znalezienia pary nukleonów z pędem środka masy  $[P, P + dP]$  oraz pędem względnym  $[k, k + dk]$

$$n_2(k, P) k^2 dk P^2 dP = k^2 dk P^2 dP \int d\Omega_k d\Omega_P P_2(\vec{k}, \vec{P})$$

- Rozkład pędów środka masy par:

$$P_2(P) = \int d\Omega_P d\vec{k} P_2(\vec{k}, \vec{P}) = \int dk k^2 n_2(k, P)$$

- Rozkład pędów względnych w parze:

$$n_2(k) = \int d\Omega_k d\vec{P} P_2(\vec{k}, \vec{P})$$



# Rozkład pędów dwóch nukleonów.

- Rachunki w jądrze: momenty pędów par. Transformacje do odpowiedniej bazy:

$$\begin{aligned}
 e^{i\vec{k}\vec{r}} &= 4\pi \sum_{lm} i^l j_l(kr) Y_{lm}(\Omega_r) Y_{lm}^*(\Omega_k) \\
 e^{-i\vec{k}\vec{r}} &= 4\pi \sum_{lm} (-i)^l j_l(kr) Y_{lm}(\Omega_r) Y_{lm}^*(\Omega_k) = (e^{i\vec{k}\vec{r}})^* = \\
 &= 4\pi \sum_{lm} (-i)^l j_l(kr) Y_{lm}^*(\Omega_r) Y_{lm}(\Omega_k)
 \end{aligned}$$

- Przydatne relacje ortogonalności sferycznych harmonik i funkcji Bessela:

$$\begin{aligned}
 \int d\Omega Y_{lm}(\Omega) Y_{l'm'}^*(\Omega) &= \delta_{ll'} \delta_{mm'} \\
 \int_0^\infty r^2 j_l(kr) j_l(k'r) &= \frac{2\pi}{k^2} \delta(k - k')
 \end{aligned}$$

# Rozkład pędów dwóch nukleonów.

- Dla  $n_2(k, P)$  reprezentacja w momencie pędu:

$$\begin{aligned}
 n_2(k, P) &= \int d\Omega_k d\Omega_P \frac{(4\pi)^4}{(2\pi)^6} \int d\vec{r} d\vec{r}' d\vec{R} d\vec{R}' \sum_{l m_l} \sum_{l' m_{l'}} \sum_{\Lambda M_\Lambda} \sum_{\Lambda' M_{\Lambda'}} \\
 &\quad j_l(kr) Y_{l m_l}(\Omega_r) Y_{l m_l}^*(\Omega_k) j_{l'}(kr') Y_{l' m_{l'}}^*(\Omega_{r'}) Y_{l' m_{l'}}(\Omega_k) \\
 &\quad j_\Lambda(P R) Y_{\Lambda M_\Lambda}(\Omega_R) Y_{\Lambda M_\Lambda}^*(\Omega_P) j_{\Lambda'}(P R') Y_{\Lambda' M_{\Lambda'}}^*(\Omega_{R'}) Y_{\Lambda' M_{\Lambda'}}(\Omega_P) \\
 &\quad (i)^{l+\Lambda} (-i)^{l'+\Lambda'} \rho_2(\vec{r}' \vec{R}'; \vec{r} \vec{R}) = \\
 &= \frac{4}{\pi^2} \int d\vec{r} d\vec{r}' d\vec{R} d\vec{R}' \sum_{l m_l} \sum_{\Lambda M_\Lambda} j_l(kr) j_l(kr') Y_{l m_l}(\Omega_r) Y_{l m_l}^*(\Omega_{r'}) \\
 &\quad j_\Lambda(P R) j_{\Lambda'}(P R') Y_{\Lambda M_\Lambda}(\Omega_R) Y_{\Lambda M_\Lambda}^*(\Omega_{R'}) \rho_2(\vec{r}' \vec{R}'; \vec{r} \vec{R}) = \\
 &= \frac{4}{\pi^2} \sum_{l m_l} \sum_{\Lambda M_\Lambda} n_2^{l m_l \Lambda M_\Lambda}(k, P)
 \end{aligned}$$

- Nowa wielkość: operator gęstości w bazie momentu pędu:

$$\begin{aligned}
 n_2^{l m_l \Lambda M_\Lambda}(k, P) &= \int r^2 dr r'^2 dr' R^2 dR R'^2 dR' j_l(kr) j_l(kr') j_\Lambda(P R) j_{\Lambda'}(P R') \int d\Omega_r d\Omega_{r'} \\
 &\quad d\Omega_R d\Omega_{R'} Y_{l m_l}(\Omega_r) Y_{l m_l}^*(\Omega_{r'}) Y_{\Lambda M_\Lambda}(\Omega_R) Y_{\Lambda M_\Lambda}^*(\Omega_{R'}) \rho_2(\vec{r}' \vec{R}'; \vec{r} \vec{R}) = \\
 &= \int r^2 dr r'^2 dr' R^2 dR R'^2 dR' j_l(kr) j_l(kr') j_\Lambda(P R) \\
 &\quad j_{\Lambda'}(P R') \rho_2^{l m_l \Lambda M_\Lambda}(r, R; r', R')
 \end{aligned}$$

# Rozkład pędów dwóch nukleonów.

- Start: baza cząstek niezależnych (IPM—"Independent Particle Model"). Stan podstawowy jądra: wyznacznik Slatera

$$\Psi_A^{IPM} = (A!)^{-\frac{1}{2}} \det[\phi_{\alpha_i}(\vec{x}_i)]$$

- Kwantyzacja ze spinem i izospinem  $\vec{x}_i \equiv (\vec{r}_i, \vec{\sigma}_i, \vec{\tau}_i)$ . Trochę kombinatoryki do gęstości dwuciałowej w IPM:

$$\rho_2^{IPM}(\vec{r}' \vec{R}'; \vec{r} \vec{R}) = \frac{2}{A(A-1)} \sum_{\alpha < \beta} \frac{1}{\sqrt{2}} [\phi_{\alpha}^*(\vec{x}'_1) \phi_{\beta}^*(\vec{x}'_2) - \phi_{\beta}^*(\vec{x}'_1) \phi_{\alpha}^*(\vec{x}'_2)] \\ \frac{1}{\sqrt{2}} [\phi_{\alpha}(\vec{x}_1) \phi_{\beta}(\vec{x}_2) - \phi_{\beta}(\vec{x}_1) \phi_{\alpha}(\vec{x}_2)]$$

- Suma po wszystkich zajętych stanach i "całka" po spinie i izospinie. W bazie oscylatorowej

$$\phi_{\alpha}(\vec{x}) = \psi_{n_{\alpha} l_{\alpha} m_{l_{\alpha}}}(\vec{r}) \chi_{\sigma_{\alpha}}(\vec{\sigma}) \eta_{\tau_{\alpha}}(\vec{\tau})$$

- Ryckebush et al.: równe masy p i n oraz ten sam potencjał  $\hbar\omega(MeV) = 45A^{\frac{1}{3}}$

# Rozkład pędów dwóch nukleonów.

- Zapis unormowanego stanu antysymetrycznego (NAS) w bazie őródek masy+ruch względy:

$$|\alpha\beta\rangle^{NAS} = \sum_{nlm_l} \sum_{N\Lambda M_\Lambda} \sum_{SM_S TM_T} \langle nlm_l N\Lambda M_\Lambda SM_S TM_T | \alpha\beta \rangle |nlm_l N\Lambda M_\Lambda SM_S TM_T\rangle$$

- Rozwijamy nawias Diraca:

$$\begin{aligned} \langle nlm_l N\Lambda M_\Lambda SM_S TM_T | \alpha\beta \rangle &= C_{\alpha\beta}^{nlm_l N\Lambda M_\Lambda SM_S TM_T} = C_{\alpha\beta}^Y = \\ &= \frac{1}{\sqrt{2}} [1 - (-1)^{l+S+T}] \left\langle \frac{1}{2} \tau_\alpha \frac{1}{2} \tau_\beta | TM_T \right\rangle \left\langle \frac{1}{2} \sigma_\alpha \frac{1}{2} \sigma_\beta | SM_S \right\rangle \langle nlm_l N\Lambda M_\Lambda | \alpha\beta \rangle \end{aligned}$$

- Pierwszy czyn: efekt antysymetryzacji. Ostatni nawias: transformacja Talmi-Moshinsky

$$\langle nlm_l N\Lambda M_\Lambda | \alpha\beta \rangle = \sum_{LM_L} \langle l_\alpha m_\alpha l_\beta m_\beta | LM_L \rangle \langle LM_L | lm_l \Lambda M_\Lambda \rangle \langle nlN\Lambda : L | n_\alpha l_\alpha n_\beta l_\beta : L \rangle$$

- Stąd:

$$\begin{aligned} C_{\alpha\beta}^Y &= \frac{1}{\sqrt{2}} [1 - (-1)^{l+S+T}] \left\langle \frac{1}{2} \tau_\alpha \frac{1}{2} \tau_\beta | TM_T \right\rangle \left\langle \frac{1}{2} \sigma_\alpha \frac{1}{2} \sigma_\beta | SM_S \right\rangle \\ &\quad \sum_{LM_L} \langle l_\alpha m_\alpha l_\beta m_\beta | LM_L \rangle \langle LM_L | lm_l \Lambda M_\Lambda \rangle \langle nlN\Lambda : L | n_\alpha l_\alpha n_\beta l_\beta : L \rangle \end{aligned}$$

# Rozkład pędów dwóch nukleonów.

- Po transformacji Talmi-Moshinsky mamy gęstość prawdopodobieństwa (wybieramy też poziom  $n!$ ):

$$\begin{aligned}
 P_2^{l m_l \Lambda m_\Lambda}(P) &= \int k^2 dk n_2^{l m_l \Lambda m_\Lambda}(k, P) = \\
 &= \int k^2 dk r^2 dr r'^2 dr' R^2 dR R'^2 dR' j_l(kr) j_l(kr') j_\Lambda(PR) \\
 &\quad j_\Lambda(PR') \rho_2^{l m_l \Lambda m_\Lambda}(r, R; r', R') = \\
 &= \int k^2 dk r^2 dr r'^2 dr' R^2 dR R'^2 dR' d\Omega_r d\Omega_{r'} d\Omega_R d\Omega_{R'} \\
 &\quad j_l(kr) j_l(kr') j_\Lambda(PR) j_\Lambda(PR') Y_{lm}(\Omega_r) Y_{lm}^*(\Omega_{r'}) Y_{\Lambda M_\Lambda}(\Omega_R) Y_{\Lambda M_\Lambda}^*(\Omega_{R'}) \\
 &\quad \frac{2}{A(A-1)} \sum_{\alpha < \beta} \langle \alpha \beta^{(\prime)} | \alpha \beta \rangle^{NAS}
 \end{aligned}$$

# Rozkład pędów dwóch nukleonów.

- Podstawiamy bazę NAS (uwaga, sprzężenie harmonik dozwolone, bo  $P, \rho_2 \in \mathcal{R}$ ):

$$\begin{aligned}
 P_2^{l m_l \Lambda m_\Lambda}(P) &= \int k^2 dk r^2 dr r'^2 dr' R^2 dR R'^2 dR' d\Omega_r d\Omega_{r'} d\Omega_R d\Omega_{R'} \\
 &\quad j_l(kr) j_l(kr') j_\Lambda(PR) j_\Lambda(PR') Y_{lm}^*(\Omega_r) Y_{lm}(\Omega_{r'}) Y_{\Lambda M_\Lambda}^*(\Omega_R) Y_{\Lambda M_\Lambda}(\Omega_{R'}) \\
 &\quad \frac{2}{A(A-1)} \sum_{\alpha < \beta} \sum_{Y_1 Y_2} (C_{\alpha\beta}^{Y_2})^* C_{\alpha\beta}^{Y_1} R_{N_1 l_1}(\sqrt{2}R) \\
 &\quad R_{N_2 l_2}(r') R_{N_2 \Lambda_2}(\sqrt{2}R') Y_{l_1 m_1}(\Omega_r) Y_{\Lambda_1 M_{\Lambda_1}}(\Omega_R) \\
 &\quad Y_{l_2 m_2}(\Omega_{r'}) Y_{\Lambda_2 M_{\Lambda_2}}(\Omega_{R'}) \delta_{S_1 S_2} \delta_{T_1 T_2} \delta_{M_{S_1} M_{S_2}} \delta_{M_{T_1} M_{T_2}} = \\
 &= \int r^2 dr r'^2 dr' R^2 dR R'^2 dR' \frac{2\pi}{r^2} \delta(r - r') j_\Lambda(PR) j_\Lambda(PR') \\
 &\quad \frac{2}{A(A-1)} \sum_{\alpha < \beta} \sum_{\substack{l m_l \Lambda M_\Lambda n_1 n_2 \\ N_1 N_2 S M_S T M_T}} (C_{\alpha\beta}^{Y_2})^* C_{\alpha\beta}^{Y_1} \\
 &\quad R_{n_1 l}(r) R_{n_2 l}(r') R_{N_1 \Lambda}(\sqrt{2}R) R_{N_2 \Lambda}(\sqrt{2}R') = \\
 &= \int R^2 dR R'^2 dR' j_\Lambda(PR) j_\Lambda(PR') \frac{4\pi}{A(A-1)} \sum_{\alpha < \beta} \sum_{\substack{l m_l \Lambda M_\Lambda n_1 \\ N_1 N_2 S M_S T M_T}} \\
 &\quad (C_{\alpha\beta}^{n_1 l m_l N_2 \Lambda M_\Lambda S M_S T M_T})^* C_{\alpha\beta}^{n_1 l m_l N_1 \Lambda M_\Lambda S M_S T M_T} R_{N_1 \Lambda}(\sqrt{2}R) R_{N_2 \Lambda}(\sqrt{2}R')
 \end{aligned}$$

- Pozbyliśmy się całek po  $r, r', \Omega_r, \Omega_{r'}, \Omega_R, k$  oraz sporej ilości sum! Możemy też rozpisać wzór względem poziomów  $n_1$ , bo są tylko we współczynnikach liczbowych. Podobnie można postąpić w przypadku  $n_2(k)$ ...

# Rozkład pędów dwóch nukleonów.

- Liczymy obserwabla  $P_2(P)$  dla danych  $n$  i  $l$  (p. warunkowe):

$$P_2(P|nl = \nu\lambda) = \frac{2}{\pi} \sum_{m_l} \sum_{\Lambda M_\Lambda} P_2^{\nu\lambda m_l \Lambda M_\Lambda}(P).$$

- Teraz mamy możliwość faktoryzacji względem np. relatywnego momentu pędu par:

$$P_2(P) = \sum_{\lambda} P_2(P|l = \lambda).$$

- Wszystko dzięki odpowiedniej bazie, ale np. funkcje własne Woods-Saxona da się rowinąć względem funkcji własnych HO.

# Rozkład pędów dwóch nukleonów.

- Teraz dodajmy korelacje. Średnie pole IPM praktycznie "załatwia" długozasięgowe. Interesujący wpływ krótkozasięgowych SRC odpowiedzialnych za duże pędy blisko związanych par. Symetryczny operator korelujący stan podstawowy jądra:

$$\hat{G} \approx \hat{S} \left[ \prod_{i < j=1}^A (1 + \hat{\zeta}(\vec{x}_i, \vec{x}_j)) \right]$$

- $\hat{S}$ -operator symetryzacji, SRC z członem centralnym, tensorowym ( $S_{12}$ ) oraz spin-izospin :

$$\hat{\zeta}(\vec{x}_1, \vec{x}_2) = -g_c(r) + f_{t\tau}(r)S_{12}\vec{\tau}_1 \cdot \vec{\tau}_2 + f_{\sigma\tau}(r)\vec{\sigma}_1 \cdot \vec{\sigma}_2\vec{\tau}_1 \cdot \vec{\tau}_2$$

- Parametryzacja zależna od modelu oddziaływania, bazy jednocząstkowej etc.
- Skorelowana funkcja falowa:

$$|\Psi_A\rangle = \frac{1}{\sqrt{\langle \Psi_A^{IPM} | \hat{G}^\dagger \hat{G} | \Psi_A^{IPM} \rangle}} \hat{G} |\Psi_A^{IPM}\rangle$$



# Rozkład pędołów dwóch nukleonów.

- Element macierzy operatora dwuciałowego  $\hat{O}^{[2]}$ :

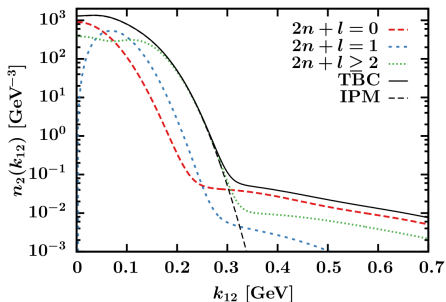
$$\langle \Psi_A | \hat{O}^{[2]} | \Psi_A \rangle = \frac{\langle \Psi_A^{IPM} | \hat{G}^\dagger \hat{O}^{[2]} \hat{G} | \Psi_A^{IPM} \rangle}{\langle \Psi_A^{IPM} | \hat{G}^\dagger \hat{G} | \Psi_A^{IPM} \rangle}$$

- Dwuciałowe przybliżenie klastrowe: wszystkie operatory działają na te same cząstki:

$$\begin{aligned} \langle \Psi_A | \hat{O}^{[2]} | \Psi_A \rangle &= \frac{\langle \Psi_A^{IPM} | \sum_{i < j=1}^A (1 + \hat{\zeta}(\vec{x}_i, \vec{x}_j))^\dagger \hat{O}^{[2]}(i, j) (1 + \hat{\zeta}(\vec{x}_i, \vec{x}_j)) \hat{G} | \Psi_A^{IPM} \rangle}{\langle \Psi_A | \Psi_A \rangle} = \\ &= \frac{\langle \Psi_A^{IPM} | \hat{O}^{[2]} | \Psi_A^{IPM} \rangle + \text{TBC corrections}}{\langle \Psi_A | \Psi_A \rangle} \end{aligned}$$

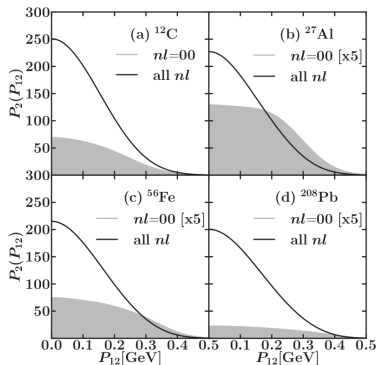
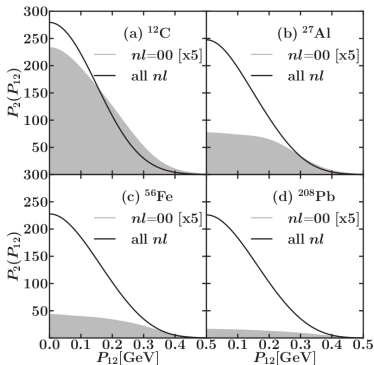
- $P_2(P) \leftrightarrow \hat{O} = \delta(\vec{P}_{ij} - (\vec{k}_i + \vec{k}_j))$  oraz  $n_2(k) \leftrightarrow \hat{O} = \delta(\vec{k}_{ij} - \frac{\vec{k}_i - \vec{k}_j}{2})$ .
- $P_2(P)$  niezależny od TBC(względne położenie).
- Za to  $n_2(k)$  różne dla IPM i TBC+ interesujący rozkład w ustalonym  $2n + l$ .

# Rozkład pędów dwóch nukleonów.



- Wyniki w bazie oscylatorowej.
- SRC odpowiadają za ogon wysokich pędów -O.K. Duży wkład względnego  $n = l = 0$  pary.

# Rozkład pędów dwóch nukleonów.



(1)

- Wyniki w bazie oscylatorowej. Pary  $pp$  po lewej, pary  $pn$  po prawej.
- Wkład względnego  $n = l = 0$  pary maleje błyskawicznie z  $A$ , ale ważny dla faktoryzacji (nieco później).

# Rozkład pędów dwóch nukleonów.

TABLE I. The moments of the  $P_{2,x}(P_{12,x})$  and the  $P_{2,x}(P_{12,x}|nl=00)$  distributions for  $pp$  pairs as computed in a HO and WS single-particle basis for various nuclei.

		HO			WS		
		$\sigma$ (MeV)	$\gamma_1$ [Eq. (27)]	$\kappa$ [Eq. (28)]	$\sigma$ (MeV)	$\gamma_1$ [Eq. (27)]	$\kappa$ [Eq. (28)]
$^{12}\text{C}$	$P_{2,x}(P_{12,x} nl=00)$	156	0.00	-0.25	158	0.00	-0.28
$^{12}\text{C}$	$P_{2,x}(P_{12,x})$	140	-0.01	-0.12	142	-0.01	-0.05
$^{27}\text{Al}$	$P_{2,x}(P_{12,x} nl=00)$	164	0.00	-0.45	168	0.00	-0.45
$^{27}\text{Al}$	$P_{2,x}(P_{12,x})$	144	-0.01	-0.20	148	-0.01	-0.20
$^{56}\text{Fe}$	$P_{2,x}(P_{12,x} nl=00)$	172	0.00	-0.54	174	0.00	-0.54
$^{56}\text{Fe}$	$P_{2,x}(P_x)$	146	-0.01	-0.27	149	0.00	-0.26
$^{208}\text{Pb}$	$P_{2,x}(P_{12,x} nl=00)$	178	0.00	-0.58	177	0.00	-0.63
$^{208}\text{Pb}$	$P_{2,x}(P_{12,x})$	145	0.00	-0.31	146	0.00	-0.31

- Pomiar szerokości  $\sigma$ , skośności  $\gamma_1$  i kurtozy  $\kappa$  dystrybucji.
- Rozkłady wyraźnie "niegaussowskie".
- Czy chodzi o model? Różnice Woods-Saxon- oscylator niewielkie. "Szczęśliwy przypadek"- mało prawdopodobny.

# Faktoryzacja przekroju

- Rozważmy ekskluzywną reakcję  $A(e, e', NN)$  przy założeniu, że pozostałe  $A - 2$  nukleonów nie bierze udziału w reakcji ("spectator approximation"). Wirtualny foton oddziałuje ze skorelowaną parą:

$$\gamma^*(q) + A - 2(p_{A-2}) + N(k_1)N(k_2) \rightarrow A - 2(p_{A-2}) + N(p_1)N(p_2)$$

- Przybliżenie neirelatywistyczne i wzbudzenie dwóch nukleonów związanych  $\alpha_1\alpha_2$  do kontinuum (fale płaskie, antysymetryczny stan końcowy fermionów). Element macierzowy:

$$M^\mu = \int d\vec{x}_1 d\vec{x}_2 \left[ \chi_{s_1}^\dagger(\vec{\sigma}_1) \eta_{t_1}^\dagger(\vec{r}_1) \chi_{s_2}^\dagger(\vec{\sigma}_2) \eta_{t_2}^\dagger(\vec{r}_2) e^{-i\vec{p}_1 \vec{r}_1} e^{-i\vec{p}_2 \vec{r}_2} - (1 \leftrightarrow 2) \right] \times \\ \times \mathcal{F}_{FSI}^\dagger(\vec{r}_1, \vec{r}_2) \hat{O}^\mu(\vec{x}_1, \vec{x}_2) \phi_{\alpha_1}(\vec{x}_1) \phi_{\alpha_2}(\vec{x}_2)$$

- $\chi, \eta$  - (izo)spinory.  $\mathcal{F}_{FSI}(\vec{r}_1, \vec{r}_2)$  - operator oddziaływań stanów końcowych w przypadku wyprowadzenia dwóch nukleonów do kontinuum w punktach  $\vec{r}_1$  i  $\vec{r}_2$ . Według rykbuscha niezależny od spinu i izospinu przy dostatecznie dużej energii reakcji.

# Faktoryzacja przekroju

- Wzbudzenie skorelowanej pary przez symetryczny operator dwuciałowy:

$$\hat{O}^\mu(\vec{x}_1, \vec{x}_2) = \left[ e^{i\vec{q}\vec{r}_1} \Gamma_{\gamma^* N}^\mu(\vec{x}_1) + e^{i\vec{q}\vec{r}_2} \Gamma_{\gamma^* N}^\mu(\vec{x}_2) \right] \hat{\zeta}(\vec{x}_1, \vec{x}_2)$$

- $\hat{\zeta}$ -korelacja,  $\Gamma^\mu$ - nierelatywistyczny wierzchołek  $\gamma^* N$ . Operator oddziaływania foton-nukleon z poprawką na SRC, działający na stan IPM.

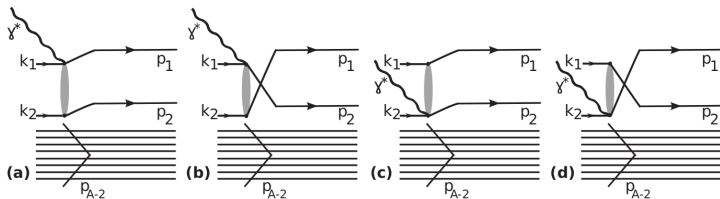


FIG. 5. The four contributions to the  $A(e, e' NN)$  amplitude of Eq. (32).

- Rozpiszemy część a).

- Baza oscylatora harmonicznego, pierwszy wkład do reakcji:

$$M_a^\mu = \int d\vec{r}_1 d\vec{r}_2 e^{-i(\vec{p}_1 - \vec{q})\vec{r}_1} e^{-i\vec{p}_2\vec{r}_2} \mathcal{F}_{FSI}^\dagger(\vec{r}_1, \vec{r}_2) \langle s_1 t_1, s_2 t_2 | \Gamma_{\gamma^* N}^\mu(\vec{x}_1) \hat{\zeta}(\vec{x}_1, \vec{x}_2) | \sigma_1 \tau_1, \sigma_2 \tau_2 \rangle \psi_{n_1 l_1 m_1}(\vec{r}_1) \psi_{n_2 l_2 m_2}(\vec{r}_2)$$

- Analogiczna transformacja środek masy + ruch względny:

$$M_a^\mu = \sum_{LM_L} \sum_{n l m_l} \int d\vec{r} d\vec{R} e^{-i\vec{R}\vec{R}} e^{-i\vec{k} \cdot 2\vec{r}} \mathcal{F}_{FSI}^\dagger(\vec{R} + \frac{\vec{r}}{2}, \vec{R} - \frac{\vec{r}}{2}) \psi_{n l m_l}(\frac{\vec{r}}{\sqrt{2}}) \psi_{N \Lambda M_\Lambda}(\sqrt{2}\vec{R}) \langle l_1 m_{l_1} l_2 m_{l_2} | LM_L \rangle \langle LM_L | l m_l \Lambda M_\Lambda \rangle \langle n l N \Lambda : L | n_1 l_1 n_2 l_2 : L \rangle \langle s_1 t_1, s_2 t_2 | \Gamma_{\gamma^* N}^\mu(\vec{x}_1) \hat{\zeta}(\vec{x}_1, \vec{x}_2) | \sigma_1 \tau_1, \sigma_2 \tau_2 \rangle$$

- Tutaj  $\vec{P} = \vec{p}_1 + \vec{p}_2 - \vec{q}$ ,  $\vec{k}^\mp = \frac{\vec{p}_1 - \vec{p}_2 \mp \vec{q}}{2}$ .
- Z badania rozkładów gęstości: operatory SRC dają najwięcej przy  $n = l = 0$ . Sumę można ograniczyć z dobrym przybliżeniem!

# Faktoryzacja przekroju

- Z badania rozkładów gęstości: operatory SRC dają najwięcej przy  $n = l = 0$ . Sumę można ograniczyć z dobrym przybliżeniem!  $n = l = 0 \rightarrow L = \Lambda$ .
- Korelacje krótkozasięgowe, blisko związane pary  $\vec{r} \approx 0$ :

$$\mathcal{F}_{FSI}^\dagger(\vec{R} + \frac{\vec{r}}{2}, \vec{R} - \frac{\vec{r}}{2}) \approx \mathcal{F}_{FSI}^\dagger(\vec{R}, \vec{R})$$

- W ramach powyższego przybliżenia:

$$M_a^\mu \approx \left\langle s_1 t_1, s_2 t_2 \left| \hat{\Gamma}_{\gamma^* N}^\mu(\vec{k}^-) \right| \sigma_1 \tau_1, \sigma_2 \tau_2 \right\rangle \sum_{N \Lambda M \Lambda} \langle l_1 m_1, l_2 m_2 | \Lambda M \Lambda \rangle \\ \langle 00 N \Lambda : \Lambda | n_1 l_1 n_2 l_2 : \Lambda \rangle \int d\vec{R} e^{-i\vec{P}\vec{R}} \mathcal{F}_{FSI}^\dagger(\vec{R}, \vec{R}) \psi_{N \Lambda M \Lambda}(\sqrt{2}\vec{R})$$

- Gdzie:

$$\hat{\Gamma}_{\gamma^* N}^\mu(\vec{p}) = \int d\vec{r} e^{-i\vec{p}\vec{r}} \psi_{000} \left( \frac{\vec{r}}{\sqrt{2}} \right) \Gamma_{\gamma^* s t N}^\mu(\vec{x}_1) \hat{\zeta}(\vec{x}_1, \vec{x}_2)$$

- Podział na iloczyn członów z  $\vec{r}, \vec{k}$  oraz  $\vec{R}, \vec{P}$ . Rozdział na człon związany z ruchem środka masy i wierzchołkiem oddziaływania ze skorelowaną parą.



# Faktoryzacja przekroju

- Po zsumowaniu wszystkich 4 członów i wzięciu kwadratu członu elementu macierzowego dostaje się faktoryzowany przekrój czynny:

$$d^8\sigma(e, e' NN) = K_{eNN}\sigma_{e2N}F_{n_1 l_1, n_2 l_2}^D(\vec{P})$$

- $K_{eNN}$ - człon kinematyczny, przekrój czynny off-shell elektron-2 nukleony:

$$\sigma(e2N) \propto L_{\mu\nu} \sum_{s_1 s_2 \sigma_1 \sigma_2 \tau_1 \tau_2} J^\mu (J^\nu)^\dagger$$

- $L_{\mu\nu}$ -tensor leptonowy,  $J^\mu$ -prąd jądrowy:

$$\begin{aligned} J^\mu &= \langle s_1 t_1, s_2 t_2 | \hat{\Gamma}_{\gamma^* N}^\mu(\vec{k}^-) | \sigma_1 \tau_1, \sigma_2 \tau_2 \rangle + \langle s_1 t_1, s_2 t_2 | \hat{\Gamma}_{\gamma^* N}^\mu(\vec{k}^+) | \sigma_1 \tau_1, \sigma_2 \tau_2 \rangle + \\ &- \langle s_2 t_2, s_1 t_1 | \hat{\Gamma}_{\gamma^* N}^\mu(\vec{k}^-) | \sigma_1 \tau_1, \sigma_2 \tau_2 \rangle - \langle s_2 t_2, s_1 t_1 | \hat{\Gamma}_{\gamma^* N}^\mu(\vec{k}^+) | \sigma_1 \tau_1, \sigma_2 \tau_2 \rangle \end{aligned}$$

- Funkcja faktoryzacji: dystrybucja pędów środka masy zakłócana przez FSI:

$$\begin{aligned} F_{n_1 l_1, n_2 l_2}^D(\vec{P}) &= 4 \sum_{m_{l_1} m_{l_2}} \left| \sum_{N \Lambda M \Lambda} \int d\vec{R} \langle l_1 m_{l_1}, l_2 m_{l_2} | \Lambda M \Lambda \rangle \langle n_1 l_1 n_2 l_2 : \Lambda | 00 N \Lambda : \Lambda \rangle \right. \\ &\quad \left. \mathcal{F}_{FSI}^\dagger(\vec{R}, \vec{R}) \psi_{N \Lambda M \Lambda}(\sqrt{2}\vec{R}) \right|^2 \end{aligned}$$

# Faktoryzacja przekroju

- W limicie zaniedbywalnych FSI mamy:

$$P_2(P|nl = 00) = \frac{3}{(2\pi)^3 A(A-1)} \sum_{n_\alpha l_\alpha n_\beta l_\beta} \int d\Omega_P F_{n_\alpha l_\alpha, n_\beta l_\beta}^D(\vec{P})$$

- Ważny wynik: spadek  $P_2(P|nl = 00)$  ze wzrostem  $A \rightarrow$  wzrost przekroju czynnego  $A(e, e' NN)$  wolniejszy, niż  $A^2$ .
- Relacja między funkcją faktoryzacji i wkładem par z liczbami kwantowymi  $n_\alpha l_\alpha, n_\beta l_\beta$  do  $P_2(P|nl = 00)$ .

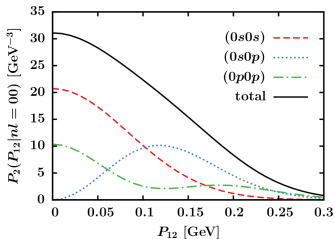


FIG. 6. (Color online) The contribution of the different shell-model pair combinations to the  $P_2(P_{12}|nl = 00)$  for  $pp$  pairs in  $^{12}\text{C}$ .

# Symulacje MC

- Praca CCRV PRC89 kinematyka JLab CLAS "data mining"  $^{12}\text{C}$ ,  $^{27}\text{Al}$ ,  $^{56}\text{Fe}$ ,  $^{208}\text{Pb}$   
 $E = 5.014 \text{ GeV}$ .
- Cięcią na wiodący proton  $0.62 < \frac{|\vec{p}_1|}{|\vec{q}|} < 0.96$ ,  $\Theta_{\vec{p}_1, \vec{q}} < 25^\circ$ ,  $|\vec{k}_1| > 300 \text{ MeV}$
- Ciecia zwiększające wkład SRC  $x_B = \frac{Q^2}{2Mq^0} > 1.2$  i  $Q^2 > 1.4 \text{ GeV}^2$ .
- Założenie w MC: przekaz pędu trafia do wiodącego protonu. Na ile zasadne??
- Losowanie  $\vec{P}$  z dystrybucji pędów środka masy oscylatora harmonicznego, także przy  $nl = 00$ .

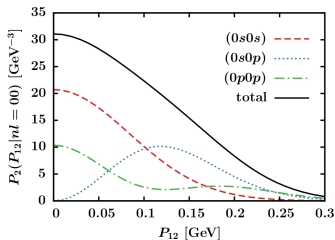


FIG. 6. (Color online) The contribution of the different shell-model pair combinations to the  $P_2(P_{12}|nl=00)$  for  $pp$  pairs in  $^{12}\text{C}$ .

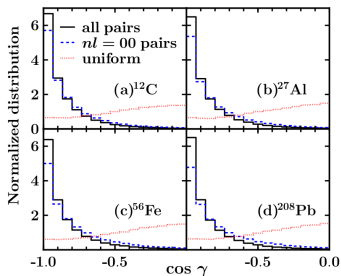


FIG. 8. (Color online) The opening angle distribution of the simulated  $A(e, e' pp)$  events in the kinematics described in the text. The black solid, blue dashed, and red dotted lines are for a reaction picture with an  $(e, e' pp)$  cross section proportional to  $P_2(P_{12})$ , to  $P_2(P_{12}|nl = 00)$ , and to a uniform pair c.m. distribution.

- Kąt między nukleonami wychodzącymi z jądra.
- Wyniki bez FSI: imponująca różnica z rozkładem jednorodnym  $P_2(P)$  (jaki rozkład daje FG/LFG? → do sprawdzenia).
- Większość wkładu od względnego momentu pędu i funkcji radialnej  $n = l = 0$ .
- Obraz fizyczny: para mocno związanych nukleonów z przeciwnymi pędami. Definitywnie poza FG/LFG.

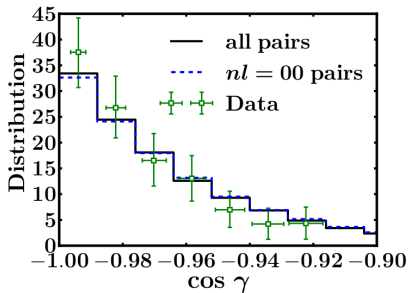


FIG. 9. (Color online) The opening angle distribution of the  $^{12}\text{C}(e, e' pp)$  reaction in the kinematics of Ref. [3]. Curve notations of Fig. 8 are used.

- Kąt między nukleonami wychodzącymi z jądra kontra dane.
- Większość wkładu od względnego momentu pędu i funkcji radialnej  $n = l = 0$ .
- Obraz fizyczny: para mocno związanych nukleonów z przeciwnymi pędami.

# Symulacje MC

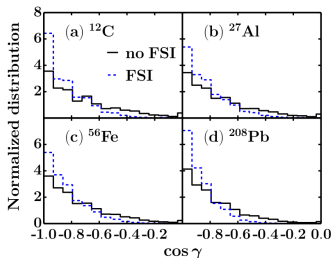


FIG. 11. (Color online) The normalized opening angle distributions for  $A(e, e' pp)$  for  $^{12}\text{C}$ ,  $^{27}\text{Al}$ ,  $^{56}\text{Fe}$ , and  $^{208}\text{Pb}$  in the kinematics of Fig. 10.

- Symulacje z FSI "Relativistic Multile-Scattering Glauber Approximation.
- Wynik: kąt otwarcia jeszcze bliższy II.

# Symulacje MC

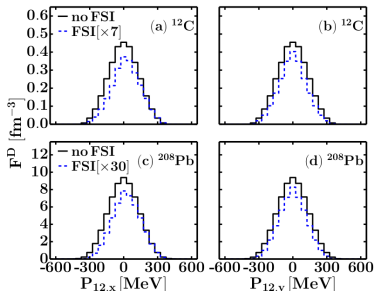


FIG. 10. (Color online) The two-body c.m. momentum distribution for  $^{12}\text{C}(e,e'pp)$  (top) and  $^{208}\text{Pb}(e,e'pp)$  (bottom) with (RMSG) and without (no-FSI) inclusion of FSIs. We consider the kinematics  $|\vec{q}| = 1.4\text{GeV}$ ,  $|\vec{p}_1| = 0.82|\vec{q}|$ , and  $\theta_{\vec{p}_1, \vec{q}} = 10^\circ$ . The FSI results have been multiplied by a factor of 7 for  $^{12}\text{C}(e,e'pp)$  and by a factor of 30 for  $^{208}\text{Pb}(e,e'pp)$ .

- Symulacje z FSI "Relativistic Multile-Scattering Glauber Approximation.
- Wynik: Drastyczna redukcja funkcji faktoryzującej  $F_D$  a więc i przekroju. Kształt, o dziwo, zachowany.

## Podsumowanie

- Oddziaływanie na skorelowanych parach w rozsądnym przybliżeniu numerycznym (oscylator harmoniczny+ rozwinięcie klastrowe dla SRC).
- Spadek  $P(P|nl = 00)$  z liczbą atomową: wkład dwuciałowy nie skaluje się trywialnie jak  $\frac{Z(Z-1)}{2}$  dla par  $pp$  i  $NZ$  dla par  $pn$ .
- Ogromny wkład od par blisko związanych ze względnym  $nl = 00$ . Obecnie żadne MC tego nie ma!
- Ładny sygnał i efekt dla dużych energii i  $Q^2$ . Co z kinematykami typowymi dla np. T2K? Czy się nie rozmyje ze względu na wiązkę? Czy FSI nie zmieniają kształtu dystrybucji?
- Potencjalnie ważne dla poszukiwań sygnału MEC: teraz losują nukleony w gazie Fermiego.
- Warto sprawdzić kąt otwarcia LFG (NuWro MEC)?
- Warto pomyśleć o odpowiednim przeważaniu wylosowanych pędów w stronę  $nl = 00$  i  $P(P|nl = 00)$ ?
- Strona teoretyczna: ciekawy kawałek mechaniki kwantowej. Separacja Talmiego-Moshinskiego możliwa też dla cząstek swobodnych. Można zobaczyć wprost, co przewiduje (L)FG.